



Laura Mariana Jiménez  
Paula Valentina Sanchez  
Sebastián Gutiérrez

# Modelo

Depredador - Presa  
Lotka - Volterra

---

Linces y Liebres

# Contenido



- 01    Introducción al modelo
- 02    Metodología
- 03    Simulaciones Numéricas
- 04    Resultados
- 05    Comportamiento e  
         influencia de los valores  
         de entrada

- 06    Errores entre métodos
- 07    Solución Análítica y  
         errores
- 08    Características de HW y  
         SW
- 09    Recomendaciones
- 10    Referencias

# Modelo Depredador-Presa de Lotka-Volterra

Modelo biomatemático que busca responder la dinámica de las poblaciones de presa y depredador bajo hipótesis:

- Ecosistema aislado
- La población de presas en ausencia de depredadores crece de manera exponencial
- La población de depredadores en ausencia de presas decrece de manera exponencial.
- La población de depredadores afecta a la de presas haciéndola decrecer
- La población de presas afecta a la de depredadores

# Modelo Depredador-Presa de Lotka-Volterra

Sistema de dos ecuaciones diferenciales de primer orden, acopladas, autónomas y no lineales

$$\begin{aligned}\frac{dx}{dt} &= \alpha x - \beta xy \\ \frac{dy}{dt} &= -\gamma y + \delta yx\end{aligned}$$

**X** = número de presas

**Y** = número de depredadores

## Parámetros:

**$\alpha$**  Tasa de natalidad de las presas

**$\beta$**  Tasa de muerte de las presas debido a los depredadores

**$\gamma$**  Tasa de éxito de caza

**$\delta$**  Tasa de mortalidad del depredador

# Metodología

## Dinámica de poblaciones con dos especies:

**Enfoque biológico:** Relación ++ (mutualismo) -- (competencia) o 00 (neutra)

**Enfoque matemático:** Siendo  $P(t)$  el tamaño de la población en el instante  $t$ , el modelo exponencial presupone que la tasa de aumento de la población es proporcional a la población en ese instante, donde  $k$  es una constante de proporcionalidad:

$$\frac{dP}{dt} = kP(t)$$

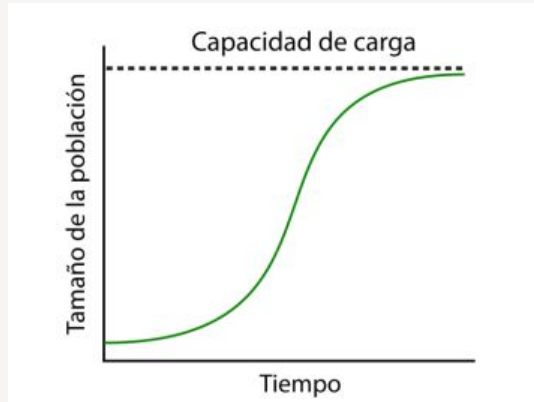
Ecuación conocida como **ecuación malthusiana**.

Adecuada cuando el tamaño de la población es pequeño en relación a dimensiones del ecosistema

# Metodología

## Modelo logístico:

Este modelo es adecuado para describir el crecimiento de una población de personas tanto como el de bacterias en un cultivo o la forma en que se propaga una epidemia



Donde  $r$  es la tasa de crecimiento de la población y  $K$  la capacidad de carga del entorno, es decir, la cantidad máxima de población que es capaz de sostener el entorno de forma indefinida.

$$\frac{dP}{dt} = r P \left( 1 - \frac{P}{K} \right)$$

# Metodología

## Modelo logístico:

Modelo que busca obtener estabilidad en la población a medida que pasa el tiempo disminuyendo la oscilación hasta llegar a una función lo más constante posible..

Ecuaciones para el análisis en R

```
MuertesPorDepredacion <- beta * Presas * Depredador
NatalidadPresas <- alpha * Presas * (1 - Presas/K)
MuertesDepredador <- delta * Depredador
dPresas <- NatalidadPresas - MuertesPorDepredacion
dDepredador <- MuertesPorDepredacion * gamma - MuertesDepredador
```

# Metodología

## Descripción del ecosistema



- Lince como depredadores
- Liebres como presas
- Lince solo se alimentan de liebres (96%)
- Ecosistema cerrado con solo la interacción de estas dos especies
- Variable de carga sobre la presa



# Metodología

## Métodos numéricos utilizados para resolver las ecuaciones diferenciales

- Adams Bashforth
- Runge kutta grado 4

### Valores iniciales:

$\alpha$ 1.0	$\beta$ 0.2	$K$ 50	<i>Cantidad presas</i> 30	<i>Tiempo</i> 200
días				
$\gamma$ 0.5	$\delta$ 0.2		<i>Cantidad depredadores</i> 4	

### Prueba 1:

$\alpha$  2.0

### Prueba 2:

$\delta$  0.6

# Simulaciones numéricas

## Método Runge Kutta grado 4

- Desarrollado en 1900 por Carl David Tolmé Runge y Martin Wilhelm Kutta.
- Miembro de la familia del método Runge Kutta conocido como RK4.
- Convergencia de  $O(h^4)$
- Cálculo de cada pendiente  $k_i$

$$\begin{cases} k_1 &= f(x_i, y_i) \\ k_2 &= f\left(x_i + \frac{1}{2}h, y_i + \frac{1}{2}k_1h\right) \\ k_3 &= f\left(x_i + \frac{1}{2}h, y_i + \frac{1}{2}k_2h\right) \\ k_4 &= f(x_i + h, y_i + k_3h) \end{cases}$$

- Problema de valor inicial:

$$y' = f(x, y), \quad y(x_0) = y_0$$

- Ecuación del método RK4:

$$y_{i+1} = y_i + \frac{1}{6}h (k_1 + 2k_2 + 2k_3 + k_4)$$

# Simulaciones numéricas

## Método Adams Bashforth

- Método multipasos (combinación lineal de pasos anteriores)
- Método explícito
- Por John Couch Adams y Francis Bashforth
- Primer paso con método de Euler
- Pasos 2 a 5:

$$y_{n+1} = y_n + hf(t_n, y_n)$$

$$y_{n+2} = y_{n+1} + h \left( \frac{3}{2} f(t_{n+1}, y_{n+1}) - \frac{1}{2} f(t_n, y_n) \right),$$

$$y_{n+3} = y_{n+2} + h \left( \frac{23}{12} f(t_{n+2}, y_{n+2}) - \frac{4}{3} f(t_{n+1}, y_{n+1}) + \frac{5}{12} f(t_n, y_n) \right),$$

$$y_{n+4} = y_{n+3} + h \left( \frac{55}{24} f(t_{n+3}, y_{n+3}) - \frac{59}{24} f(t_{n+2}, y_{n+2}) + \frac{37}{24} f(t_{n+1}, y_{n+1}) - \frac{3}{8} f(t_n, y_n) \right),$$

$$y_{n+5} = y_{n+4} + h \left( \frac{1901}{720} f(t_{n+4}, y_{n+4}) - \frac{1387}{360} f(t_{n+3}, y_{n+3}) + \frac{109}{30} f(t_{n+2}, y_{n+2}) - \frac{637}{360} f(t_{n+1}, y_{n+1}) + \frac{251}{720} f(t_n, y_n) \right)$$

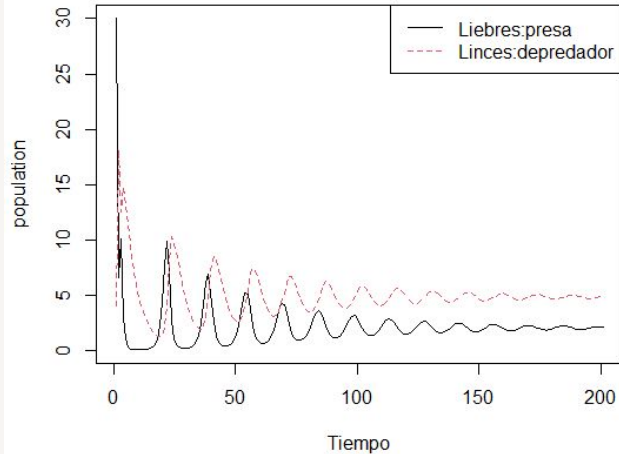
[4]

# Resultados

## Método Runge Kutta grado 4

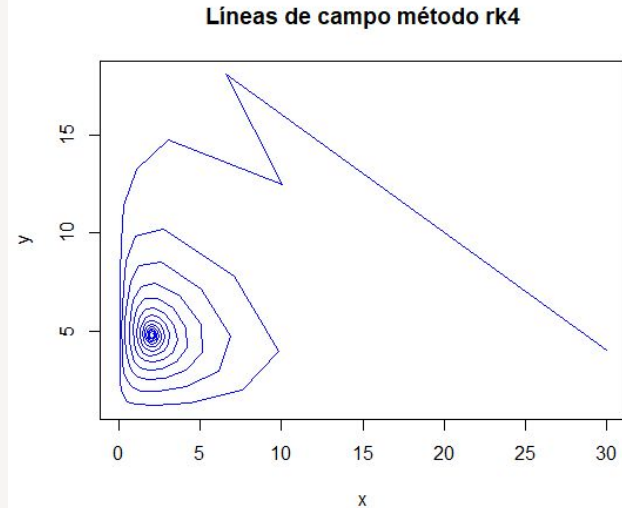
Tiempo vs. Población

---



Líneas de campo

---

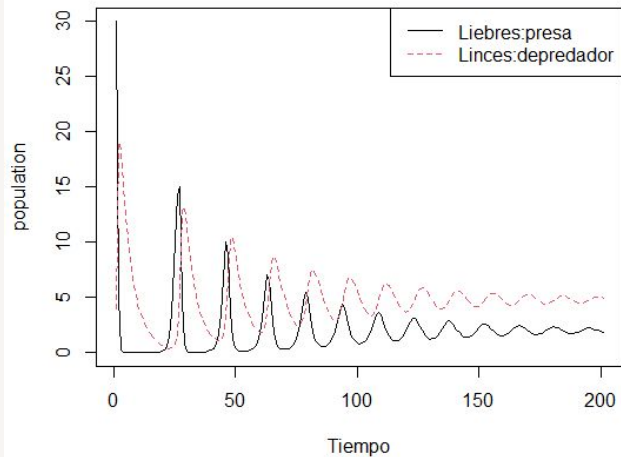


# Resultados

## Método Adams Bashforth

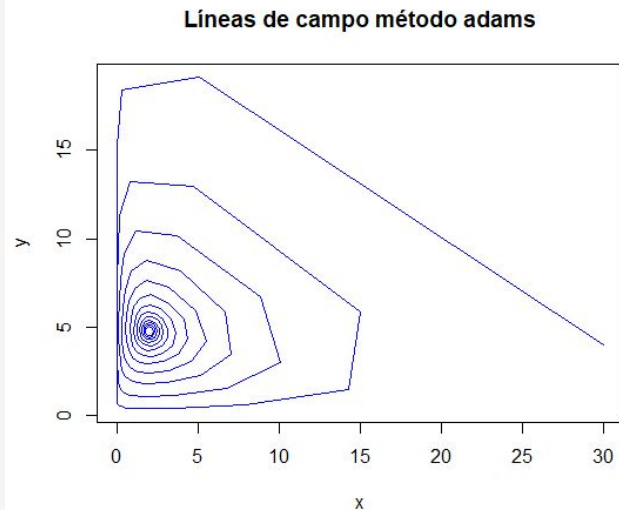
Tiempo vs. Población

---



Líneas de campo

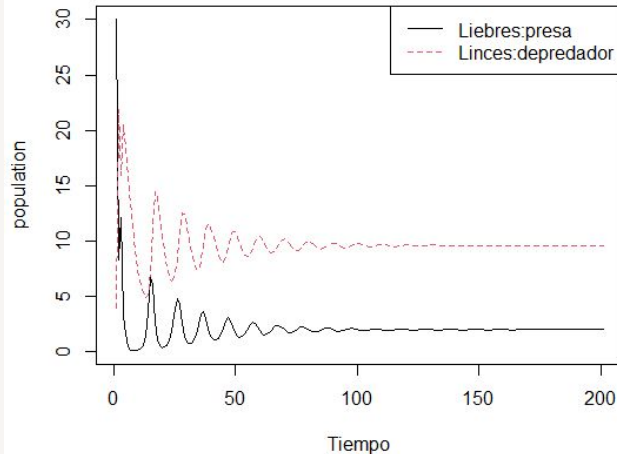
---



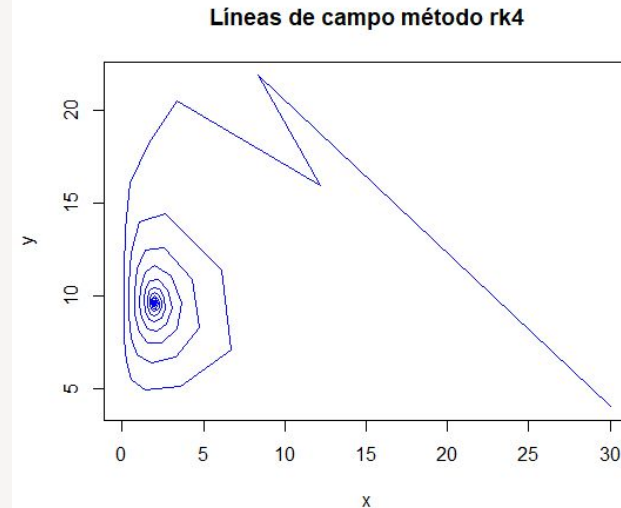
## Comportamiento e influencia de la entrada de datos

### Método Runge Kutta grado 4 duplicando la tasa de natalidad de las presas

Tiempo vs. Población



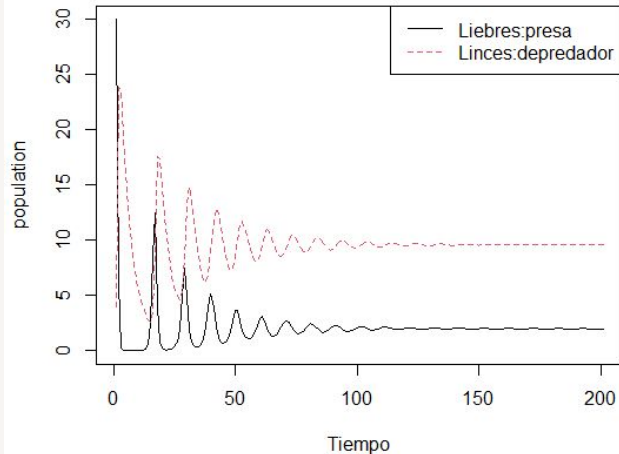
Líneas de campo



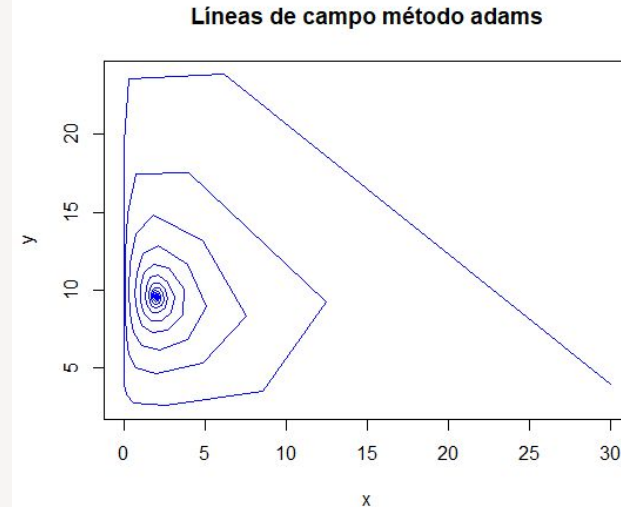
## Comportamiento e influencia de la entrada de datos

### Método Adams Bashforth duplicando la tasa de natalidad de las presas

#### Tiempo vs. Población



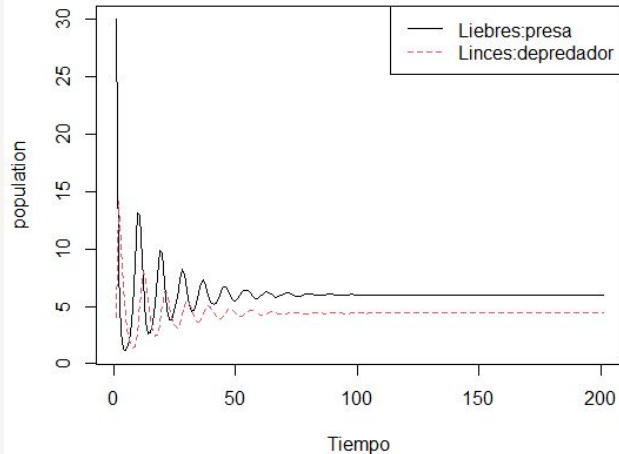
#### Líneas de campo



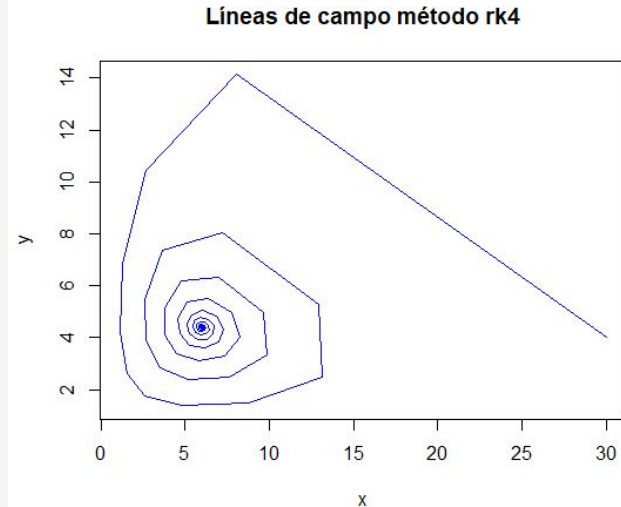
# Comportamiento e influencia de la entrada de datos

**Método Runge Kutta grado 4 aumentando a 0.6 la tasa de mortalidad de los depredadores**

Tiempo vs. Población



Líneas de campo

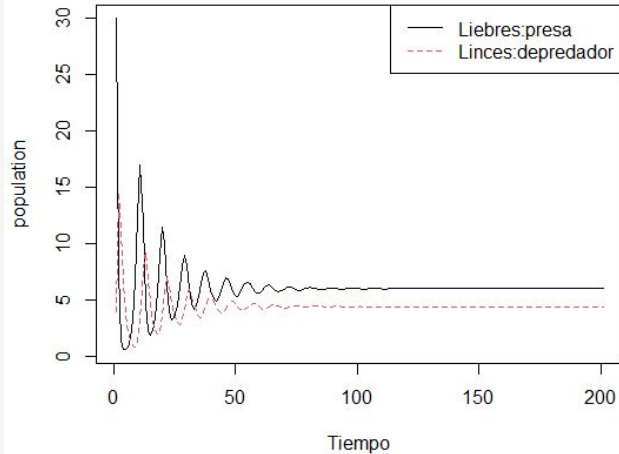




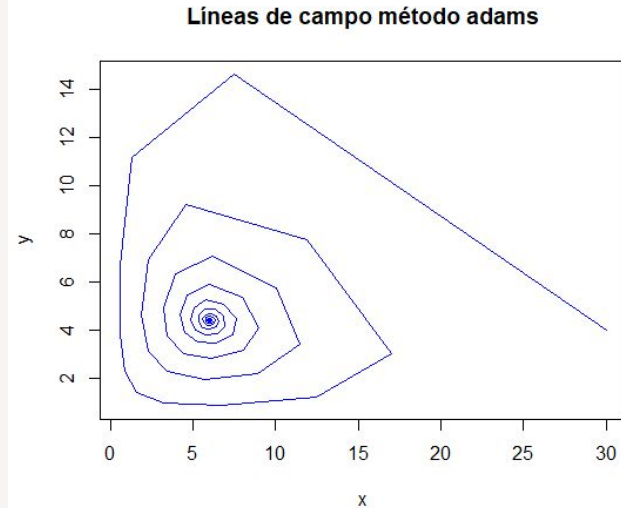
# Comportamiento e influencia de la entrada de datos

**Método Adams Bashforth aumentando a 0.6 la tasa de mortalidad de los depredadores**

Tiempo vs. Población



Líneas de campo

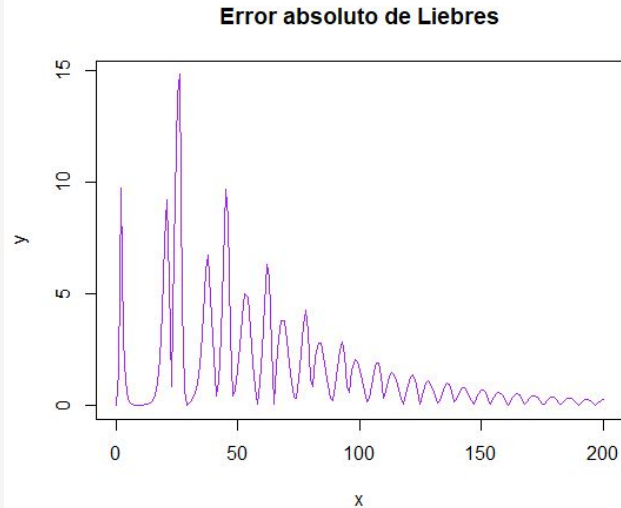


# Errores entre métodos

## Gráfica de error absoluto a lo largo del tiempo

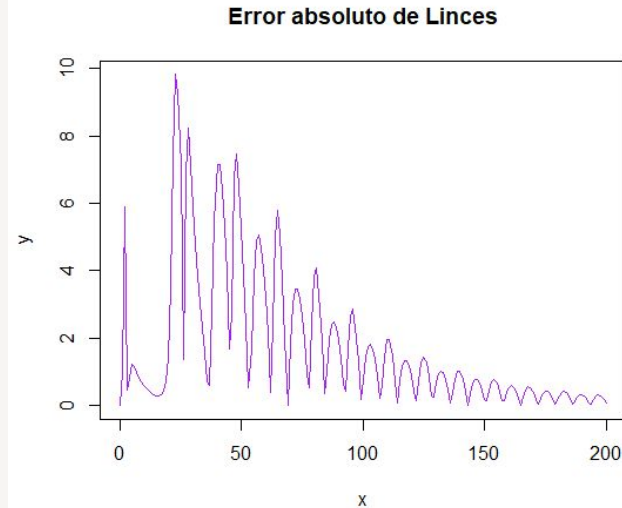
### Población de Liebres

---

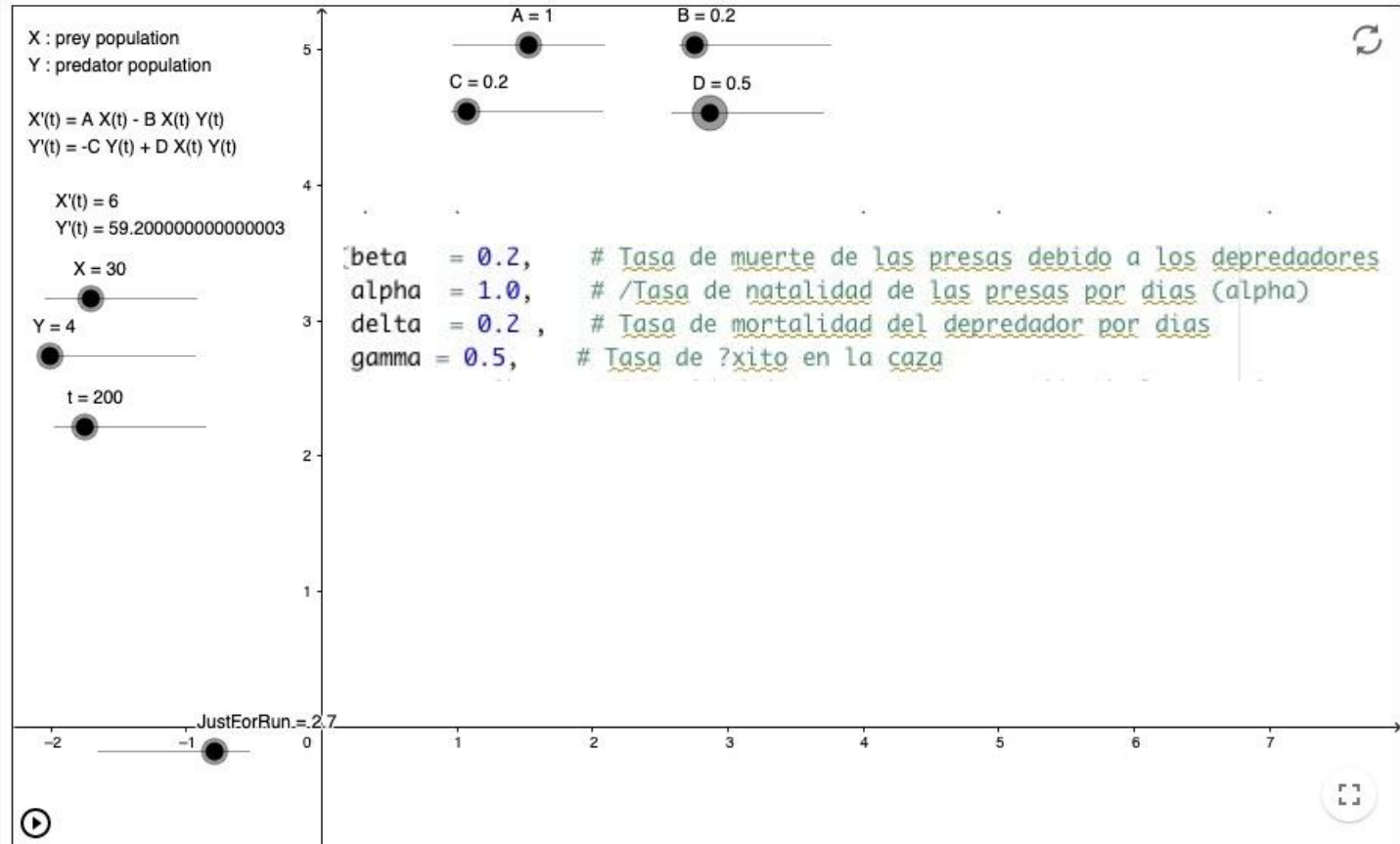


### Población de Lince

---



# Solución analítica



X : prey population  
Y : predator population

$$X'(t) = A X(t) - B X(t) Y(t)$$
$$Y'(t) = -C Y(t) + D X(t) Y(t)$$

$$X'(t) = 0$$

$$Y'(t) = 0$$

$$X = 0$$

$$Y = 0$$

$$t = 203.69999999999998$$

$$\text{JustForRun} = -5$$

$$A = 1$$

$$B = 0.2$$

$$C = 0.2$$

$$D = 0.5$$

160

140

120

100

80

60

40

20

0

M

Pop<sub>X</sub>

-20

-40

-60

0

20

40

60

80

100

120

140

160

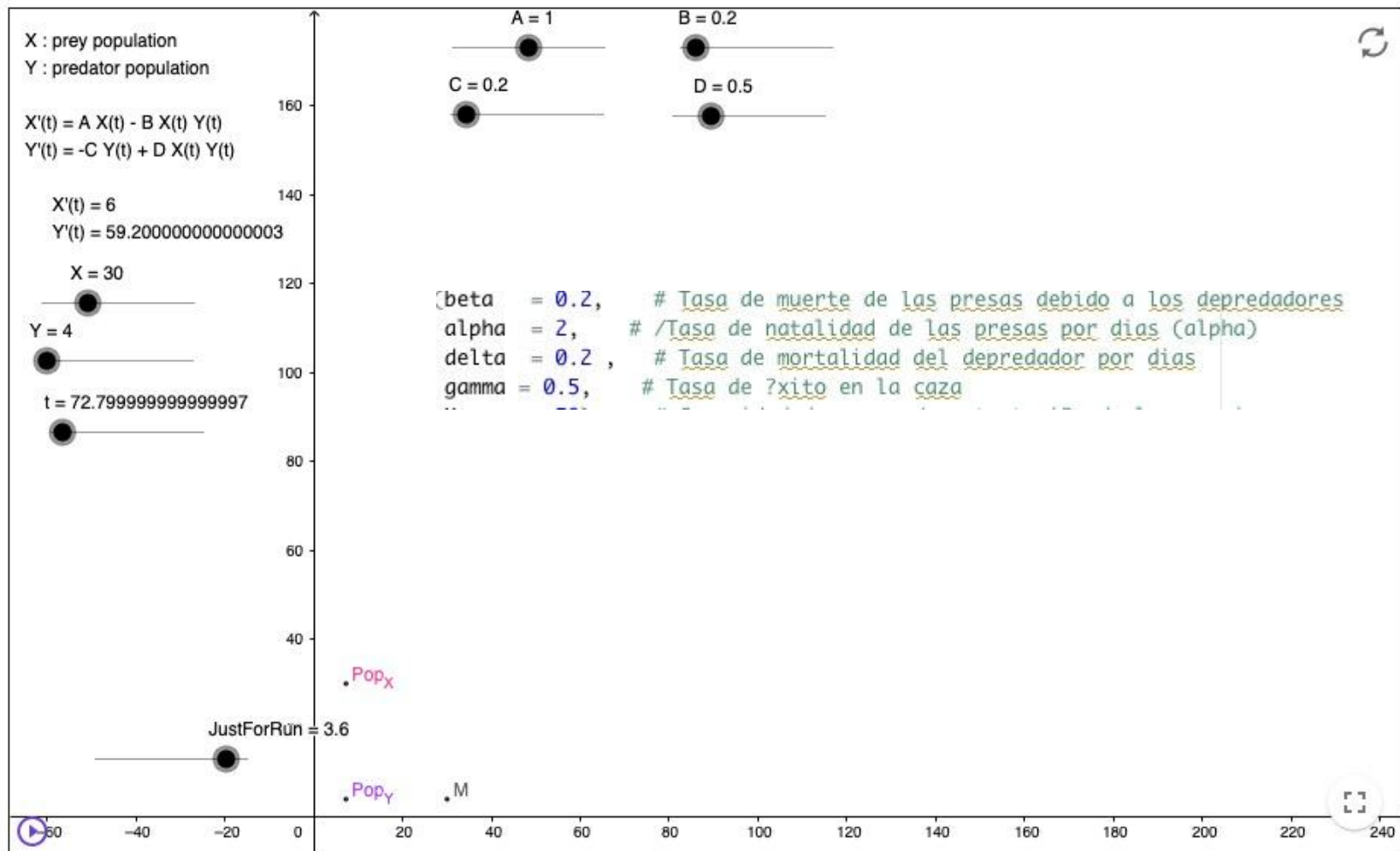
180

200

220

II





Y : predator population

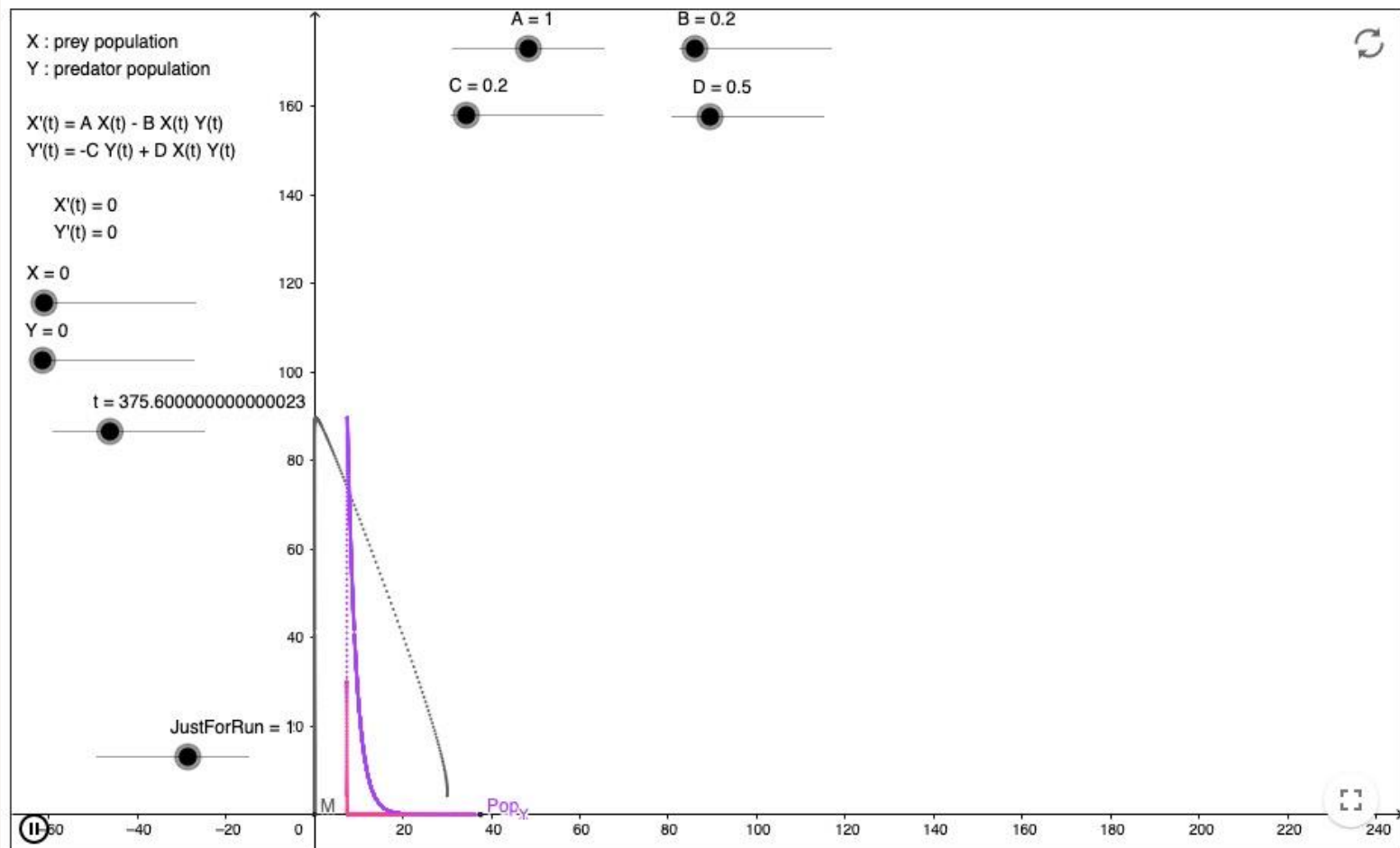
$$Y'(t) = -C Y(t) + D X(t) Y(t)$$

$$Y'(t) = 0$$

$$Y = 0$$

t = 375.600000000000023

```
JustForRun = 10
```

$$\overline{B} = 0.2$$
 $D = 0.5$ 

# Características de HW y SW para la implementación de los modelos

## Hardware

---

- RAM 8 GB
- Procesador Intel Core i5 8va Generación
- Memoria Intel Optane

## Software

---

- Windows 10
- RStudio versión 1.3.1056
- R 4.0.3



# Recomendaciones/conclusiones

- La población de presas en ausencia de depredadores crece exponencialmente y decrece en presencia de estos.
- La población de depredadores en ausencia de presas decrece de manera exponencial.
- La tasa de natalidad de las presas es una variable sensible dentro del sistema ya que este varía mucho si se cambia dicha variable.
- Se tienen numerosas herramientas para poder predecir el comportamiento de una o varias poblaciones.



# REFERENCIAS

- [1] J. Gutiérrez Expósito, "Lotka-Volterra Prey-Predator model", Licenciatura, Universidad de la Laguna, 2017.
- [2] M. Begon, J. L. Harper y C. R. Townsend (2006). Ecology: From Individuals to Ecosystem (4<sup>a</sup> ed.). United States: Blackwell
- [3] Miriam. K. A. Al-Moqbali, Nasser. S. Al-Salti and Ibrahim. M. Elmojtaba, "Prey–Predator Models with Variable Carrying Capacity", Mathematics, pp. 2 - 12, 2018.
- [4] Fathoni, M. F., & Wuryandari, A. I. (2015, December). Comparison between Euler, Heun, Runge-Kutta and Adams-Bashforth-Moulton integration methods in the particle dynamic simulation. In 2015 4th International Conference on Interactive Digital Media (ICIDM) (pp. 1-7)
- [5] LINCE IBÉRICO Y CONEJO: UNA RELACIÓN CLAVE EN LA CONSERVACIÓN DEL LINCE. Iberlinx.com. (2020). Retrieved 24 November 2020, from [http://www.iberlinx.com/esp/index.php?option=com\\_content&view=article&id=8:lince-iberico-e-coelho-bravo-uma-relacao-chave-na-conservacao-do-lince&catid=6:artigo&Itemid=9](http://www.iberlinx.com/esp/index.php?option=com_content&view=article&id=8:lince-iberico-e-coelho-bravo-uma-relacao-chave-na-conservacao-do-lince&catid=6:artigo&Itemid=9).
- [6] Á. Sáez, "Ecuaciones de Lotka-Volterra: modelo presa depredador – Pybonacci", *Pybonacci.org*, 2020. [Online]. Available: <https://pybonacci.org/2015/01/05/ecuaciones-de-lotka-volterra-modelo-presa-depredador/>. [Accessed: 26- Nov- 2020].